



بررسی منشاء سولفات در تعدادی از جسمه های گوگردی زاگرس جین خورده با استفاده از ایزوتوپ سولفور (^{34}S)^{۳۴}

همت سلامی^۱، حسین محمدزاده^۲ و حمید رضاناصری^۲

^۱ دانشجوی دکتری آب زیوزهینی، دانشگاه شهید بهشتی، دانشکده علوم ذهین

^۲ هیئت علمی، دانشگاه فردوسی مشهد، دانشکده علوم، گروه زمین شناسی، مرکز تحقیقات آب های زیوزهینی (متاب)، صندوق پستی: ۹۱۷۷۵ - ۱۴۳۶

^۳ هیئت علمی، دانشگاه شهید بهشتی، دانشکده علوم ذهین، گروه زمین شناسی

Younes_salami@yahoo.com

خلاصه:

در این مطالعه به بررسی مقادیر ایزوتوپ سولفور ^{34}S در تعداد ۸ دنه چشمه گوگردی در استان خوزستان پرداخته شده است. این جسمه های گوگردی در بخش های شمالی استان خوزستان در زمین زاگرس چین خورده قرار دارند. پس از انجام نمونه برداری از جسمه های مرجوز، آنها با روش استاندارد اولانه شده عرضه USGS انجام گردید. جهت تشخیص منشاء ایزوتوپ سولفور، حرضه آبریز هر چشمه با استفاده مدل رقمنی ارتفاعی مشخص شده و واحد های زمین شناسی موجود شناسایی شده است. با توجه به حدود مقادیر ایزوتوپ سولفور ^{34}S در واحد های مختلف زمین شناسی و با مقایسه مقادیر ایزوتوپ سولفور اندازه گیری شده در چشمه های گوگردی مورد مطالعه و مقادیر اندازه گیری شده قبلی عرضه سایر محققین مشخص گردید که منبع سولفور موجود در چشمه های عمر ما انحصار لایه های تکثیری سازند های گلگasan، میشان و آغخاری می باشد.

کلمات کلیدی: ایزوتوپ سولفور، چشمه های گوگردی، ثانی شدگی، تهی شدگی، VCDT

۱- مقدمه

عنصر گوگرد دارای ۱۶ پرتوتون و ۱۶ الکترون و بر اساس تعداد نوتر و نهای آن دارای ۱۸ ایزوتوپ می باشد که چهار ایزوتوپ آن شامل ^{32}S , ^{33}S , ^{34}S , ^{36}S ، به ترتیب با فراوانی ۰/۰۲، ۰/۰۱، ۰/۰۰۲ و ۰/۰۰۰۲ درصد فراوانی، پایدار است.

^{34}S به ترتیب دارای ۱۶ و ۱۸ نوتر و نهای، دو تا از مهمترین و فراوانترین ایزوتوپ های گوگرد بوده و علیرغم خواص فیزیکی یکسان اتم ^{34}S و ^{32}S حدود ۶/۲۵ درصد از ^{32}S سنگین تر می باشد (به خاطر وجود دو نوتر و نهای اضافی). بر این اساس در طول یک واکنش شیمیایی این دو ایزوتوپ به صورت جزئی دارای رفتاری متفاوت می باشد.

در میان ایزوتوپ های گوگرد، ^{35}S نیمه عمری حدود ۸۷/۲ روز داشته و از کاربرد محدودی در مطالعاتی پیرامون منشا پیدا شده آب و آب شناسی برخوردار می باشد. سایر ایزوتوپ های رادیواکتیو گوگرد دارای نیمه عمر بسیار کوتاهی بوده و کاربرد آنها در مطالعات آب شناسی مقید نمی باشد. در مقابل به خاطر واکنش پذیری بودن گوگرد، اختلاف نسبتاً بالای بین جرم ایزوتوپ های آن، از این اختلاف وزن به عنوان یک معیار قابل انکار در سیاری از محاسبات



استفاده می شود. در مطالعات ایزو توبی، میزان نسبت ایزو توب سنگین به سبک ($^{34}\text{S}/^{32}\text{S}$) در نمونه با مقدار این نسبت در استاندارد مقایسه و به صورت $\delta^{34}\text{S}$ تعریف می شود (رابطه ۱):

(۱)

$$\delta = \left(\frac{R_x - R_{std}}{R_{std}} \right) \cdot 1000\%$$

که در آن: δ : مقدار ایزو توب بر حسب یک در هزار (پر مول)، R : نسبت فرامنی ایزو توب های سنگین به سبک می باشد، R_{std} بر نمونه دلالت دارد و δ : پیانگر استاندارد مرجع می باشد.

- مقادیر S^{34} در طبیعت

مقادیر ایزو توب سولفور (در این بررسی متوجه ایزو توب سولفور همان S^{34} می باشد) در انواع محیط های طبیعت و در انواع لیتوژی های زمین شناسی می باشد (شکل ۱). البته در برخی موارد نادر مقادیر بیشتر یا کمتر از این مقدار نیز گزارش شده است (Krouse, 1991).

در حال حاضر مقدار ایزو توب سولفور موجود در اقیانوسها حدود ۵۰%+ می باشد اما در طی زمانهای زمین شناسی دارای تغییراتی بوده است به طوریکه در اوایل میلادی مقدار این ایزو توب در اقیانوسها برابر با ۱۰%+ و در اوایل پالئوزوئیک مقدار آن برابر با حدود ۳۰%+ تخمین زده شده است (USGS, 2005).

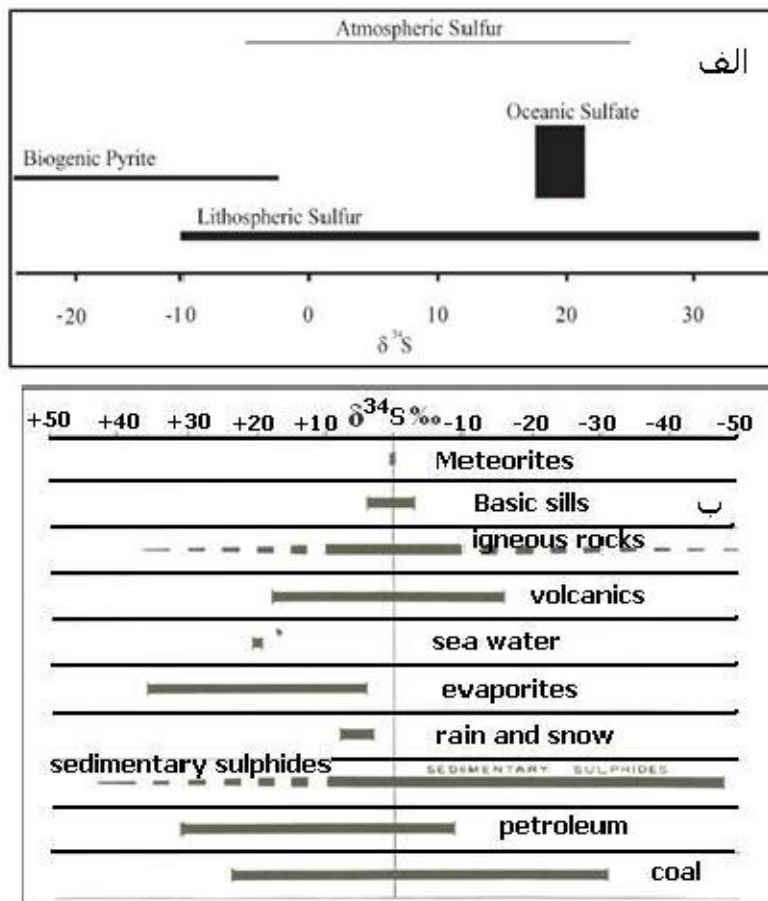
همانطور که در شکل (۱-ب) مشاهده می گردد رسوبات تبخیری نسبت به سایر واحدهای زمین شناسی از مقادیر ایزو توب سولفور بالاتری برخوردار می باشند و در آنها همیشه غنی شدگی ایزو توبی (Enrichment) قابل مشاهده می باشد. به غیر از واحدهای تبخیری خارج از مبحث انواع لیتوژیهای زمین شناسی تنها آب دریا و باران و برف می باشند که در آنها همیشه غنی شدگی وجود دارد. به طور کلی تغییرات مقدار ایزو توب سولفور توسط دو فرایند اصلی کنترل می گردد: ۱) احیاء سولفات و تبدیل آن به سولفید توسط باکتریهای بی هوازی یکی از فرایندهای تأثیرگذار بر رهی تهی شدگی یا غنی شدگی ایزو توب سولفور می باشد که نتیجه آن غنی تر شدن سولفات باقیمانده نسبت به ایزو توب سولفور می باشد (Sumrall, 2009)، ۲) سایر واحدهای شیمیایی که سبب تجمع ایزو توب سولفور در ترکیب با درجه اکسیداسیون بالاتر می شود. در این خصوص میتوان به رابطه (۲) و (۳) اشاره نمود که در آنها تبادلات بین انواع ایزو توبهای سولفور در ترکیبات اکسیدی و احیایی نشان داده شده است.



$$K = ([^{34}\text{SO}_2]/[^{32}\text{SO}_2]) / ([\text{H}_2^{34}\text{S}]/[\text{H}_2^{32}\text{S}]) \quad (۳)$$

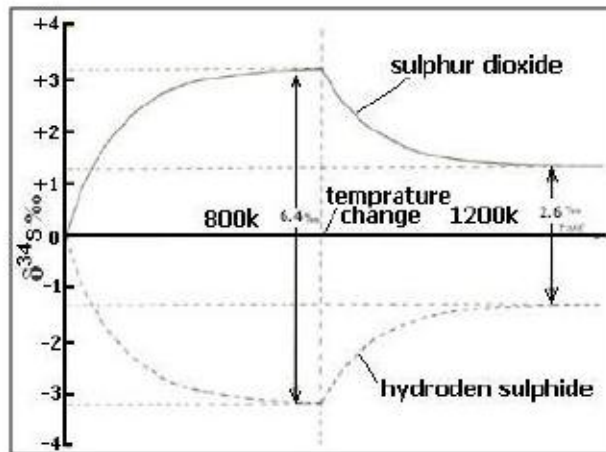
شکل (۲) تأثیر دما بر رهی ثابت تعادل (K) سیستم $\text{SO}_2 - \text{H}_2\text{S}$ را نشان داده می دهد. در دمای ۸۰۰ درجه کلوین حدود ۱/۰۰۶۴ می باشد. بیشتر بودن مقدار ثابت تعادل از مقدار یک نشان دهنده تجمع ایزو توب ^{34}S در فاز اکسیدی می باشد و همین موضوع باعث شده است که مقدار ^{34}S در SO_2 حدود ۶.۴% سنتین تر (یا غنی تر) نسبت به H_2S باشد. همانطور که در این شکل مشاهده می گردد در دمای دهای کمتر از ۸۰۰ درجه کلوین مقدار جدایش (Partitioning) دارای رابطه مستقیم با دما و از دمای ۸۰۰ درجه کلوین به بالا دارای رابطه معکوس با دما می باشد. مقادیر ثابت تعادل در دمای دهای

فازهای تعادلی مختلف در جدول (۱) آمده است.



شکل ۱- مقدار ایزو و توب سولفور (الف) در محیطهای مختلف (After Krouse, 1991 and Sharp, 2007)، (ب) در واحدهای مختلف زمین شناسی (Thode, 1971)

قابل ذکر است که در یک سیستم فعال، در حال واکنش تغیر نسبت ایزو توبی در واکنش دهنده ها و محصولات با گذشت زمان بستگی به مقدار و حجم واکنش دهنده ها دارد (Bigeleisen & Wolfsberg, 1958) در یک سیستم باز با گذشت زمان تغیری در مقدار ایزو توبی و واکنش گرها رخداده و تقریباً این نسبت ایزو توبی ثابت می ماند. اما در یک سیستم بسته که با مقدار مشخصی از واکنش گرها روبرو هستیم با گذشت زمان نسبت ایزو توبی واکنش گرها و محصولات تغیر می نماید (آدابی، ۱۳۹۰). شکل (۲) چگونگی کاهش شب خط نهی شدگی سولفید با کاهش مقدار سولفات را نشان می دهد. بنابراین بایستی به این مهم توجه داشت که مقدار جدایش بین فاز سولفات و سولفید در طبیعت بستگی به درجه تکامل واکنش مربوطه دارد (Mitchell et al., 1992).

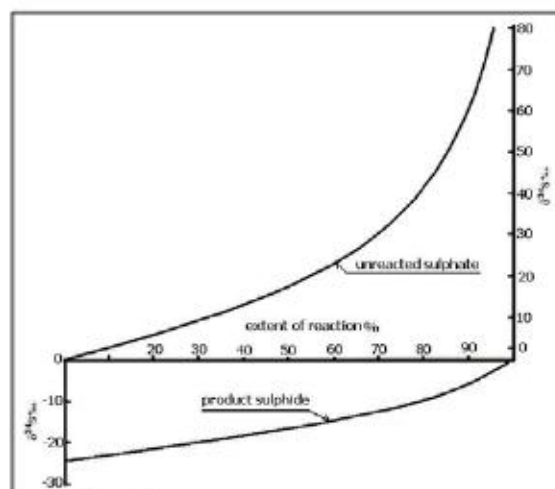


شکل ۲- تغییرات مقدار جدایش ایزوتوپ سولفور با دما در دو فاز دی اکسید سولفور و سولفید هیدروژن

جدول ۱- ثابت تعادل برخی از واکنشهای تعادل ایزوتوپی سولفور (from Tudge & Thode, 1950)

Isotope exchange reactions	T (°C)	K (calc.)	K (exp.)
$H_2^{34}S + ^{32}SO_4^{2-} \rightleftharpoons H_2^{32}S + ^{34}SO_4^{2-}$	25	1.074	—
$H_2^{34}S + ^{32}SO_3 \rightleftharpoons H_2^{32}S + ^{34}SO_3$	25	1.070	—
$H_2^{34}S + ^{32}SO_2 \rightleftharpoons H_2^{32}S + ^{34}SO_2$	0	1.037 ^a	—
$H_2^{34}S + ^{32}SO_2 \rightleftharpoons H_2^{32}S + ^{34}SO_2$	25	1.032 ^b	—
$H_2^{34}S + ^{32}SO_2 \rightleftharpoons H_2^{32}S + ^{34}SO_2$	527	1.0064 ^a	1.006 ^c
$^{34}SO_2(g) + H^{32}SO_3^{-}(aq) \rightleftharpoons ^{32}SO_2(g) + H^{34}SO_3^{-}(aq)$	25	—	1.019 ^b
$H_2^{32}S + H^{34}S^- \rightleftharpoons H_2^{34}S + H^{32}S^-$	25	—	1.006
$^{32}S_8 + H_2^{34}S \rightleftharpoons ^{34}S_8 + H_2^{32}S$	25	1.003	—

From Thode *et al.* (1971).
From Thode *et al.* (1945).

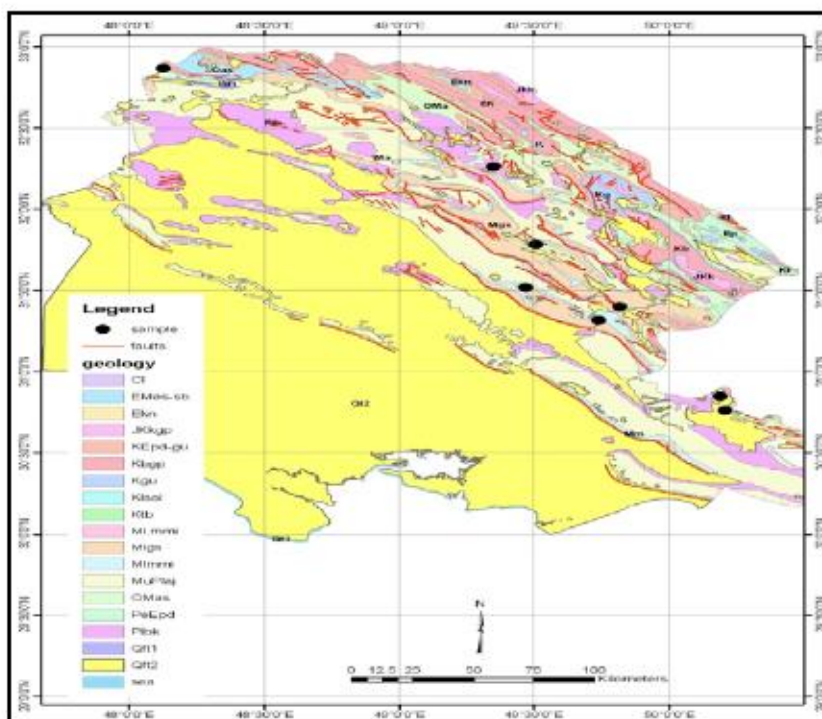
شکل ۳- تغییرات S^{34} در سولفات پاکمانده و سولفید تولید شده در حالیکه $^{32}SO_4^{2-} / 1.024$ حدود ۰.۵۵٪ احیاء می شوند



۳- موقعيت جغرافيايی و زمین شناسی منطقه مورد مطالعه

چشممه های گوگردی مورد بررسی در این مطالعه به تعداد ۸ دهته در استان خوزستان قرار دارند. تمامی نقاط آنالیز شده در تبعه شمالی استان در ارتفاعات شمال شهرهای اندیمشک، مسجد سليمان، رامهرمز و بهبهان قرار دارند (شکل ۴). از نگاه زمین ریخت شناسی سه رخساره مورخولوزیک در استان خوزستان: رخساره کوهستانی که در شمال خاور استان قرار دارند و نمونه های مورد بررسی همگی در این بخش کوهستانی قرار دارند. رخساره آپه ماهوری که نواحی پیرامون دزفول، رامهرمز و اهواز را زیر پوشش دارند و رخساره دشت های آبرفتی و پهنه های سیلانی که زمینهای دائم در جنوب اهواز تا سواحل خارج فارس را در بر گرفته است، حاکم است (آقاباتی، ۱۳۸۵).

از نظر ساختاری استان خوزستان در زمین ساختی - زمین ساختی در این زمین ساختاری قرار گرفته است. بخش کوهستانی از توده های چین خورده تشکیل شده است و غالب نمونه های مورد بررسی در این زمین ساختاری قرار گرفته است. با تکیه بر سه عامل لیتولوزی، تکتونیک و سن سازندهای زمین شناسی، رخدمنهای سنگی استان را می توان به دو واحد تکتون تو استراتیگیکی: (۱) ردیف های دریایی زوارسیک - کرتاسه که رخساره حوضه تیس جوان را دارند و عموماً در هسته تاقديسهها و در یک راستای عمومی شمال باختری - جنوب خاوری بر زند دارند، (۲) توالیهای همزمان یا کوهزاتی آپی که سن سنوزنیک دارند و خاصه های آن معرف نهشته های ابیاضه شده در یک دریای پسرانه به سمت جنوب است، تقسیم کرد (مطیعی، ۱۳۷۴). واحد های زمین شناسی موجود در حوضه آبریز چشممه های مورد بررسی همگی در بر گیرنده روبات سنوزنیک می باشد.



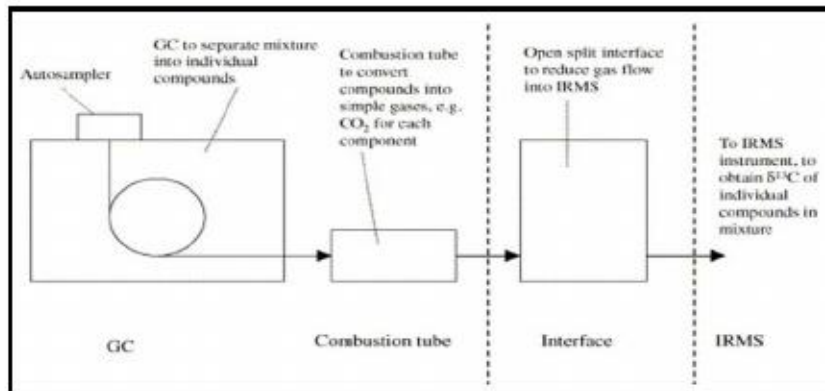
شکل ۴- نقشه زمین شناسی استان خوزستان و محل های نمونه برداشی

۴- روش اندازه گیری مقدار ایزو توپ سولفور ($\delta^{34}\text{S}$)

روش اندازه گیری ایزو توپ سولفور بر اساس CF-IRMS می باشد که با استفاده از اندازه گیری گاز SO_2 متصاعد شده از نمونه مورد نظر و مقایسه آن با مقدار ایزو توپ گاز استاندارد تهیه شده در آزمایشگاه، میزان ایزو توپ سولفور مشخص می گردد (شکل ۵). در این روش ابتدا توسط دستگاه تجزیه عنصری



(Elemental Analyzer) نمونه های آب به گاز تبدیل شده و سپس این گاز توسط گاز هلیوم به دستگاه اسپکترو متر جرمی منتقل می گردد. توفیحات کامل در خصوص این روش در دستورالعمل ارائه شده توسط USGS (ارائه گردیده است) (USGS, 2006).



شکل ۵- مراحل مختلف اندازه گیری ایزوتوپ سولفور با روش CF-IRMS

۴- مقادیر ایزوتوپ S^{34} نمونه ها

همانطور که اشاره گردید نمونه های آب مورد بررسی، از تعدادی چشممه های گوگردی موجود در بخش های شمالی استان خوزستان باقی در زمان زاگرس چین خورده جمع آوری شده است. چشممه های گوگردی، چشممه های می باشد که در آب آتها هیدروژن سولفور آزاد یا هیدرو سولفور یا هر دوی آنها وجود دارد و منشاء گوگرد موجود در این چشممه ها میتواند عوامل مختلفی از جمله زمین شناسی، جوی، دریابی و غیره باشد. تعداد نمونه های آتالیز شده در این بررسی برابر با هشت نمونه می باشد که مقادیر ایزو توپ سولفور اندازه گیری شده آنها در جدول (۲) نشان داده شده است.

همانطور که در شکل (۶) مشاهده می گردد حداقل S^{34} با مقادیر میانگین ۱۹.۳٪ و حداکثر آن ۳۰.۵٪ می باشد که در نمونه S5 اندازه گیری شده است. مقایسه مقادیر متوسط ایزو توپ سولفور اندازه گیری شده در چشممه های گوگردی مورد مطالعه (23.7%) با مقدار آن در سایر محیط های طبیعی (مقایسه با شکل (۱)) می توان به نزدیکی مقادیر متوسط اندازه گیری شده به مقادیر ایزو توپ سولفور اندازه گیری شده در سنگهای تبخیری بی بود. به عبارت دیگر محتوای ایزو توپی سنگهای تبخیری بر روی محتوای ایزو توپی آب چشممه های تأثیر به سزاوی داشته است. جهت اطمینان ب رسوبی بیشتر ابتدا با استفاده از مدل رقومی ارتفاع محدوده حوضه آبریز هر چشممه تعیین شد. واحد زمین شناسی موجود در حوضه آبریز بالا دست چشممه های گوگردی با استفاده از نقشه های زمین شناسی مشخص شده است که نتایج آن در جدول (۲) ارائه گردیده است. همانطور که در این جدول مشاهده می شود در حوضه های آبریز چشممه های مورد بررسی واحد های زمین شناسی وجود دارند که در آنها لایه های تبخیری عموماً به شکل میان لایه یا بخشی از سکانس رسوبی رخمنون دارند.

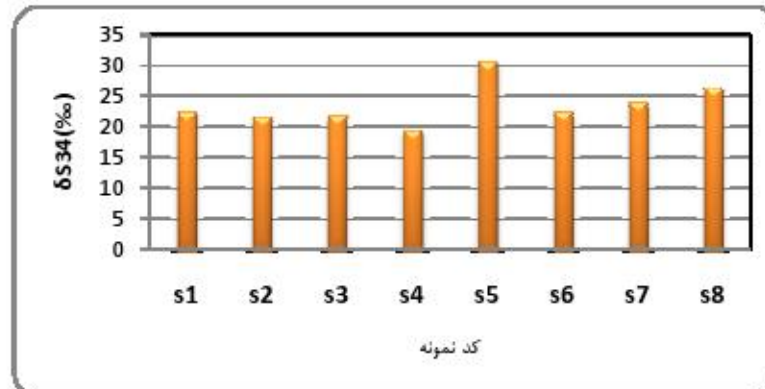
۵- نتیجه گیری

جهت بررسی بیشتر در خصوص مقادیر ایزو توپ سولفور علاوه بر اشکال ارائه شده در بخش های قبلی، تغییرات مقادیر ایزو توپ S^{34} موجود در سولفات در طی زمانهای زمین شناسی در دریاهای قدیمه در انواع محیط های تبخیری در شکل (۷) نشان داده شده است (Clark and Fritz, 1997, Hoefs, 2008).

واحد های زمین شناسی تبخیری در محدوده حوضه آبریز چشممه های گوگردی شامل گچساران، میشان و آغازاری می باشد. در واحد زمین شناسی گچساران لایه های تبخیری با ضخامت نسبتا قابل توجه قابل مشاهده بوده و در میشان و آغازاری این لایه ها از ضخامت پیوستگی کمتری برخوردار می باشد (برداشت شخصی با توجه به بازدیدهای میدانی انجام شده در بخش های مختلف زاگرس چین خورده). این رسوبات در زمان نیوزن تشکیل شده اند و مقادیر ایزو توپ سولفور آنها مطابق با لایه های تبخیری در زمان ترشیری می باشند (شکل ۸). قابل ذکر است که دریای دریته در مقادیر ایزو توپ سولفور از



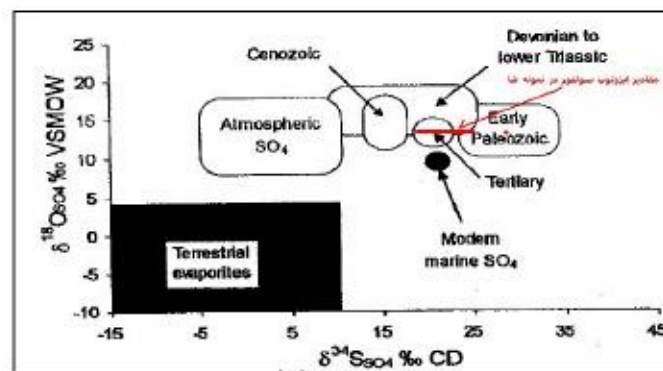
نوسان برخوردار می باشدند (Khademi et al., 1997). اندازه گیری ایزو توپ سولفور در تبخیرهای دریایی (عمدها رئیس) نشان دهنده افزایش مقدار این ایزو توپ از حدود ۱۳.۵‰ در کرتاسه پائینی تا حدود ۲۲‰ در میوسن میانی و کاهش نسبی آن از میوسن میانی تا عهد حاضر می باشد (Claypool et al., 1980)



شکل ۶- مقدار ایزو توپ سولفور اندازه گیری شده در نمونه ها

جدول ۲ واحد های زمین شناسی موجود در حوضه آبریز چشممه های گوگردی نمونه برداری شده

شماره نمونه	زمین شناسی
S1	چشممه در آبریز و در حوضه آبریز آن میان، بیکنستان و آسراری
S2	چشممه در مرز آبریز و آسراری
S3	چشممه در مرز آبریز و آسراری و در حوضه آبریز آن گچساران
S4	چشممه در آخاجاری و در حوضه آبریز آن بختیاری و گچساران
S5	چشممه در گچساران و در حوضه آبریز آن میان و گچساران
S6	چشممه تمام در گچساران و در حوضه آبریز آن هم گچساران
S7	چشممه در گچساران و در حوضه آبریز آن میان و آخاجاری
S8	کنکاکت پایده گزروی و گزروه بیکنستان

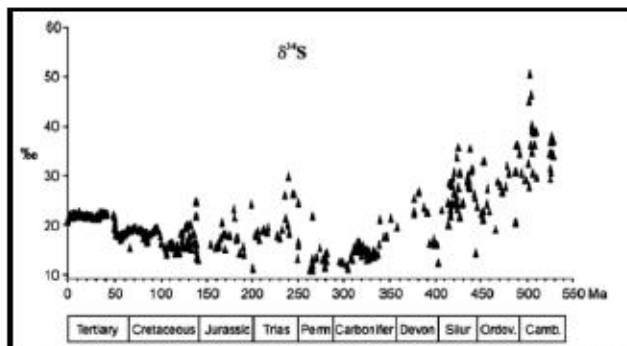


شکل ۷- ترکیب $\delta^{34}\text{S}$ و $\delta^{18}\text{O}$ اثوابع محیطهای تبخیری (Clark & Fritz, 1997)

همانطور که در شکل (۸) مشاهده می گردد دریاهای نوژن که در آن سازندهای تبخیری موجود در حوضه آبریز بالادست چشممه های گوگردی مورد مطالعه نهشته شده است غالباً دارای ایزو توپ سولفور ۲۰‰ تا ۲۶‰ می باشد و این مهم نشان دهنده این واقعیت می باشد که سولفور موجود در



چشمدهای گوگردی منطقه عموماً از انحلال نهشته‌های تبخیری منطقه حاصل شده‌اند. مقادیر نسبتاً بالاتر $\delta^{34}\text{S}$ در آب‌های گوگردی منطقه میتواند نشان دهنده محیط نسبتاً بسته در زمان تشکیل سازند گچساران و سایر واحدهای تبخیری باشد به طوریکه سبب افزایش میزان ایزوتوپ سولفور در لایه‌های تبخیری نهشته شده باشد.



شکل ۸- تغیرات مقادیر ایزوتوپ سولفور در دریاهای قدیمه (Prokoph et al., 2008)

-۷ منابع

- آدابی، م.ح. (۱۳۹۰). "رنوشهیی رسوی". مرکز پژوهشی آرین زمین، نصل دوازدهم، صص ۳۷۴-۳۹۰.
- آقانباتی، ع. (۱۳۸۵). "زمین شناسی ایران". سازمان زمین شناسی کشور.
- معطیی، م. (۱۳۷۴). "زمین شناسی نفت زاگرس". سازمان زمین شناسی کشور.

- Krouse, H.R., and Grinenko, V.A. (1991). Stable Isotopes: Natural and Anthropogenic Sulphur in the Environment, SCOPE 43, John Wiley and Sons, Chichester, 440p.
- USGS, (2005). Resources on Isotopes.
- Sumrall, J. (2009). Using 34-S as a Tracer of Dissolved Sulfur Species from Springs to Cave Sulfate Deposits in the Cerna Valley, Romania, PhD Thesis, Geology dep., University of South Florida.
- Thode, H.G. (1971). Sulphur Isotopes in Nature and the Environment: An Overview.
- Mitchell, M.J., Stam, A., Krouse, H.R. and Kahl, J.S. (1992). Stable sulfur isotopes of sulfate in precipitation and stream solutions in a northern hardwood watershed. Water Resource. Res., 28: 231-236.
- USGS, (2006). Determination of the $\delta(\delta^{34}\text{S}/\delta^{32}\text{S})$ of Low - Concentration Sulfate in Water: RSIL Lab Code 1949.
- Clark, I.D., and Fritz, P. (1997). Environmental Isotopes in Hydrogeology, chap. 6, Lewis Publishers. Newyork.
- Hoefs, F. (2008). Stable Isotopes Geochemistry. Springer – Verlag Berlin Heidelberg. p.156,
- Khademi, H., Mermut, A.R., Krouse, H.R. (1997). Sulfur Isotope Geochemistry of Gypsiferous Arid soils from Central Iran, Elsevier, Geoderma 80 (1997) 195-209.